



Sociedad Mexicana
de Electroquímica



XXXIX CONGRESO NACIONAL DE LA SOCIEDAD
MEXICANA DE ELECTROQUÍMICA 2024

17th Meeting of the Mexican Section of
the Electrochemical Society

San Francisco de Campeche, Campeche, México.
7 al 11 de octubre 2024

Sensor electroquímico para metiltionina: Azul de metileno sobre grafito/AuNPs

Idalí Ibarra Escandón

Universidad Autónoma de Ciudad Juárez | Instituto de Ciencias Biomédicas



UACAM
Universidad Autónoma de Campeche



CICORR
CENTRO DE INVESTIGACIÓN
EN CORROSIÓN
Universidad Autónoma de Campeche



CONAHCYT
CONSEJO NACIONAL DE CIENCIAS Y TECNOLOGÍAS
Universidad Autónoma de Campeche



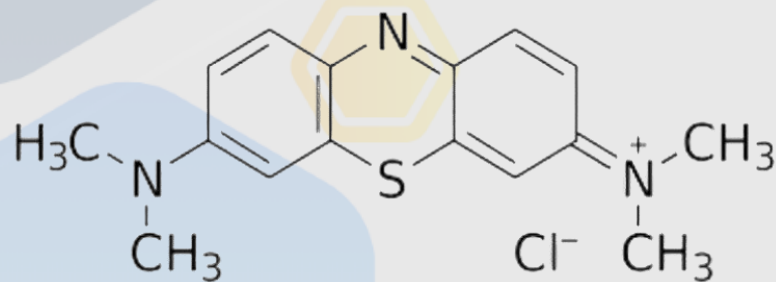


Figura 1. Estructura de la molécula azul de metileno.

Introducción

SMEQ 2024

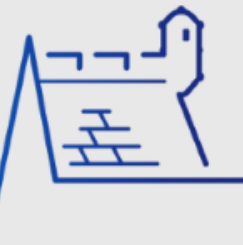


Figura 3. Técnicas analíticas convencionales.



Figura 2. Azul de metileno en cuerpos acuáticos.

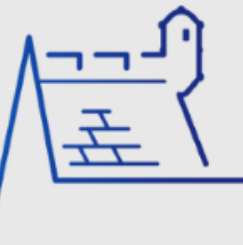


UACAM
Universidad Autónoma de Campeche

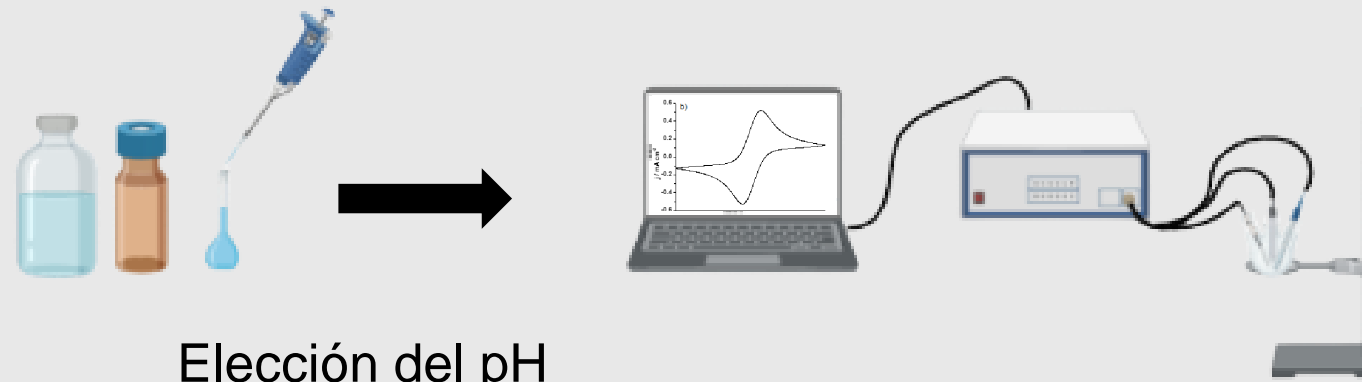
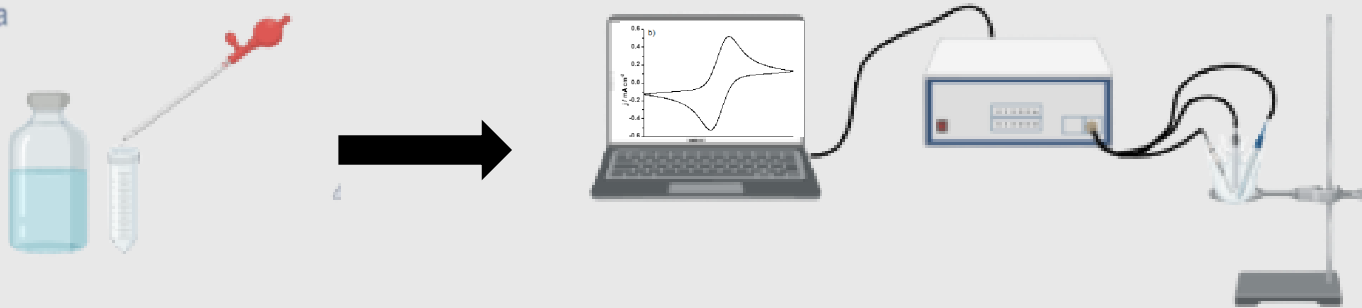
CICORR
CENTRO DE INVESTIGACIÓN
EN CORROSIÓN
Universidad Autónoma de Campeche

CONAHCYT
CONSEJO NACIONAL DE HACIENDA
Y CREDITO

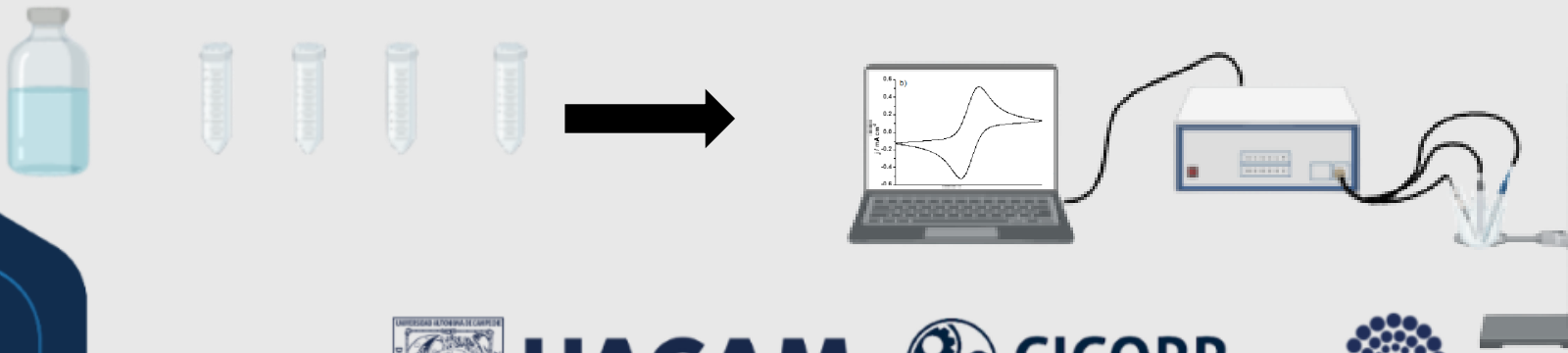
ECS
Electrochemical Society



Elección del electrolito soporte



Elección del pH

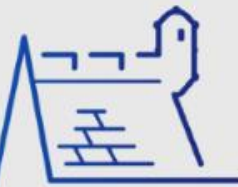


UACAM
Universidad Autónoma de Campeche

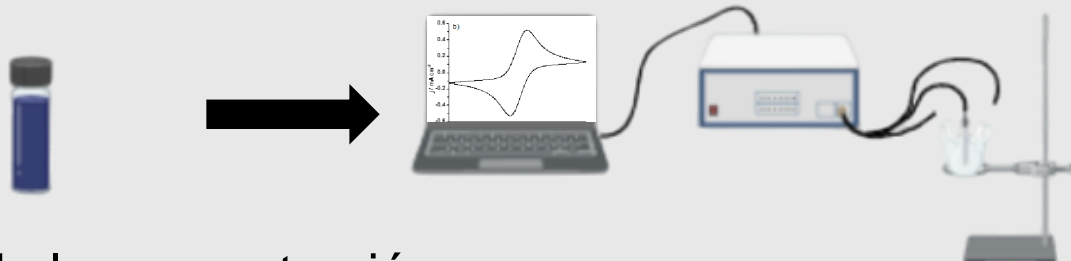


CICORR
CENTRO DE INVESTIGACIÓN
EN CORROSIÓN
Universidad Autónoma de Campeche

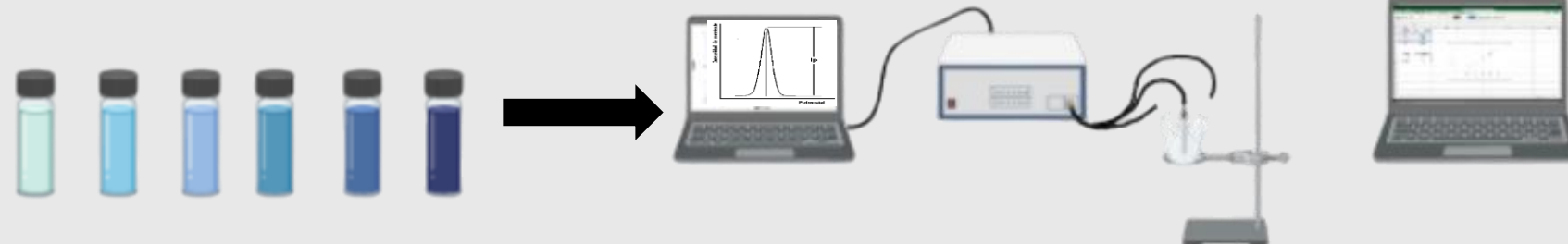




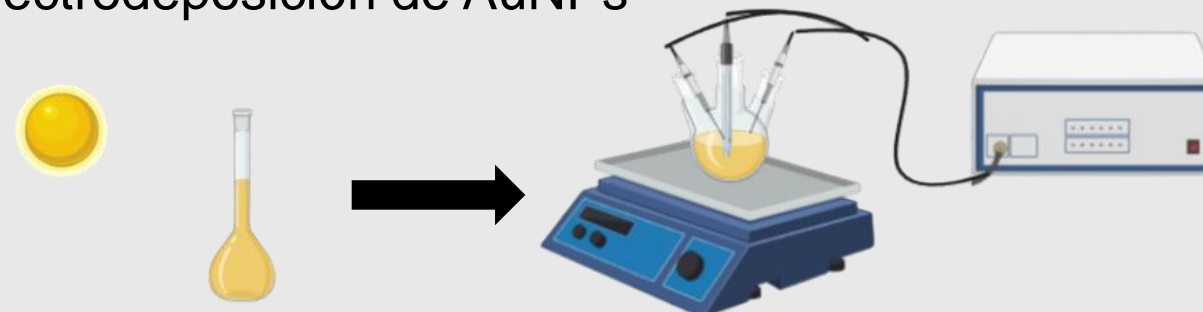
Efecto de la velocidad de barrido

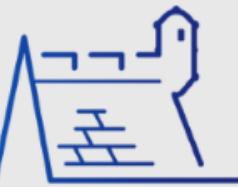


Efecto de la concentración



Electrodepositión de AuNPs

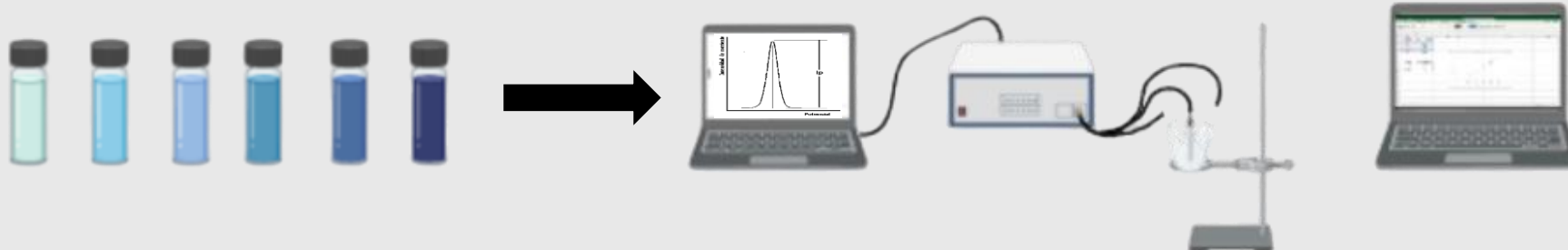




Caracterización electroquímica



Curva de calibración



Resultados y discusión



UACAM
Universidad Autónoma de Campeche

 **CICORR**
CENTRO DE INVESTIGACIÓN
EN CORROSIÓN
Universidad Autónoma de Campeche

 **CONAHCYT**
CONSEJO NACIONAL DE CIENCIAS Y TECNOLOGÍAS

 **ECS**

Electrolito soporte

SMEQ 2024

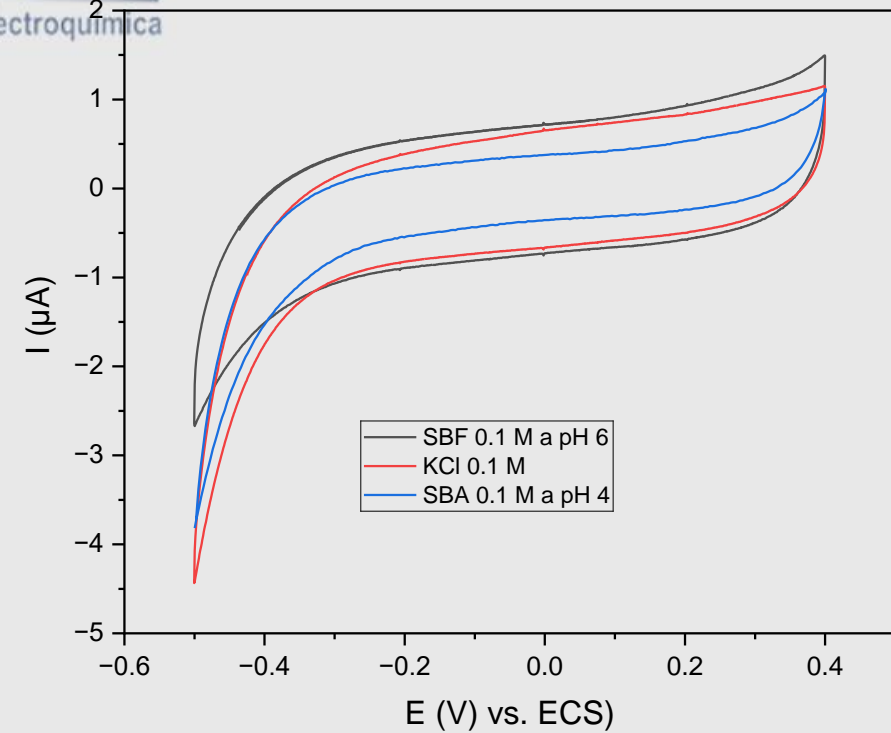


Figura 4. Voltamperogramas cíclicos de los electrolitos soportes sobre ECV sin la adición del colorante azul de metilo. SBF: solución buffer de fosfatos; SBA: solución buffer de acetato.

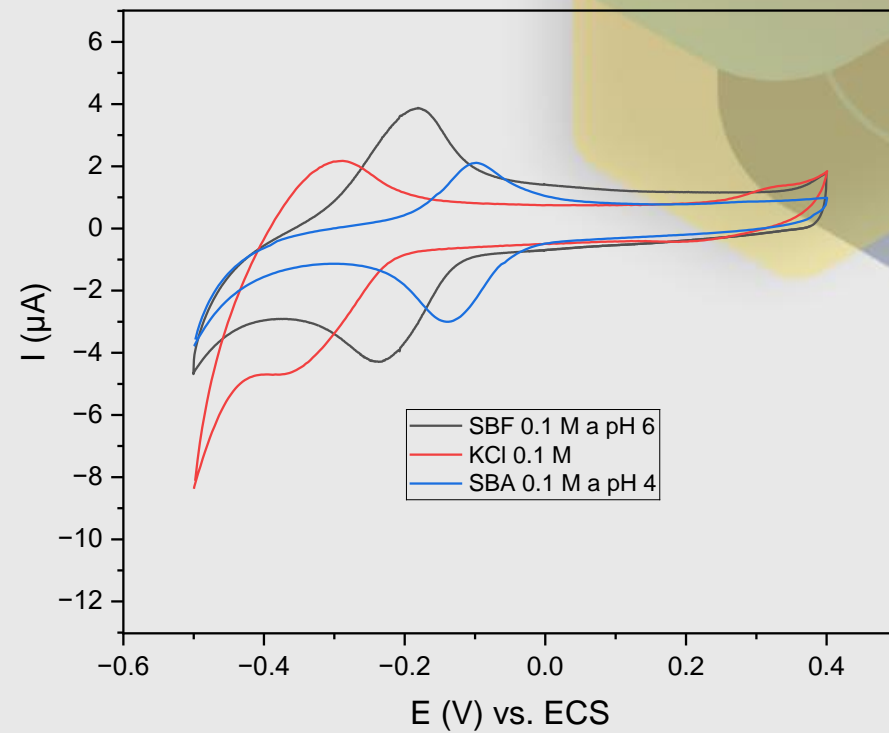


Figura 5. Voltamperogramas cíclicos de los electrolitos soportes sobre ECV en presencia de azul de metileno a una concentración de 50 ppm.



Efecto del pH

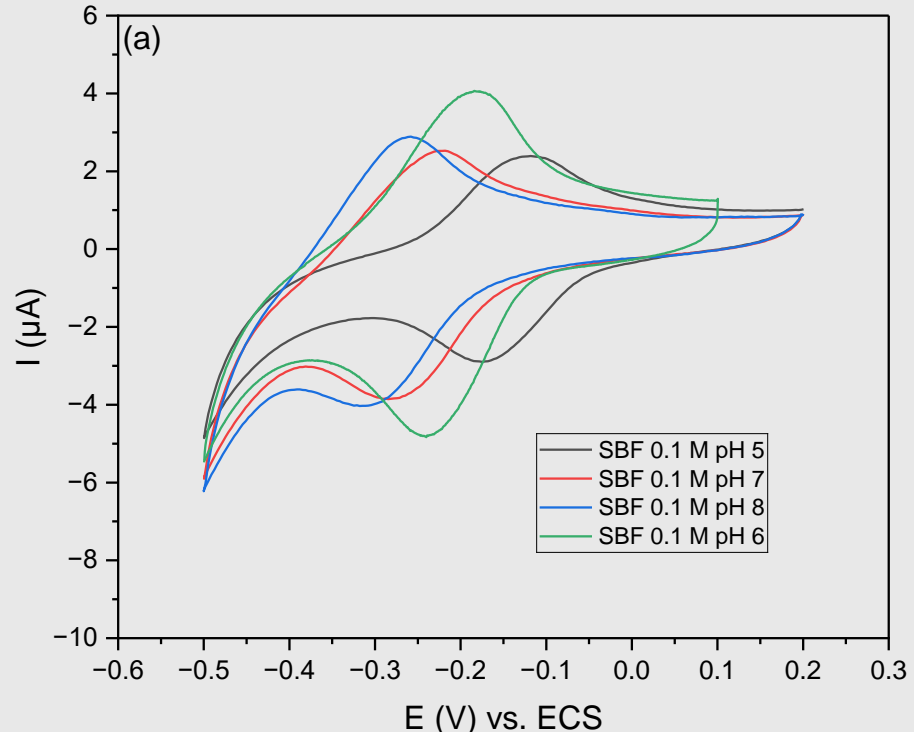


Figura 6. Voltamperogramas cílicos de SBF a diferentes pH sobre ECV en presencia de azul de metileno a una concentración de 50 ppm.

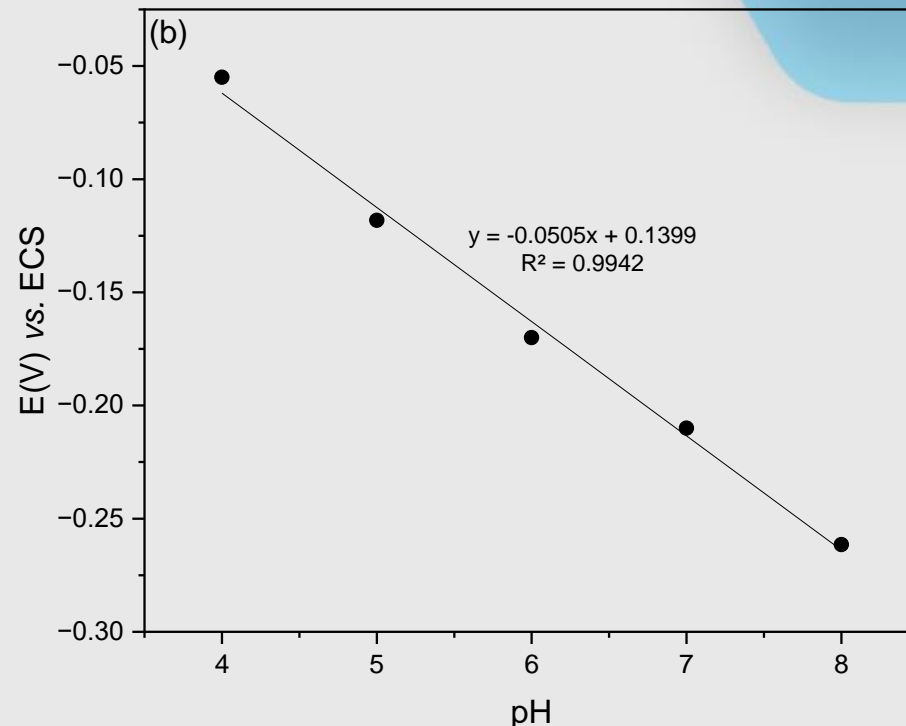


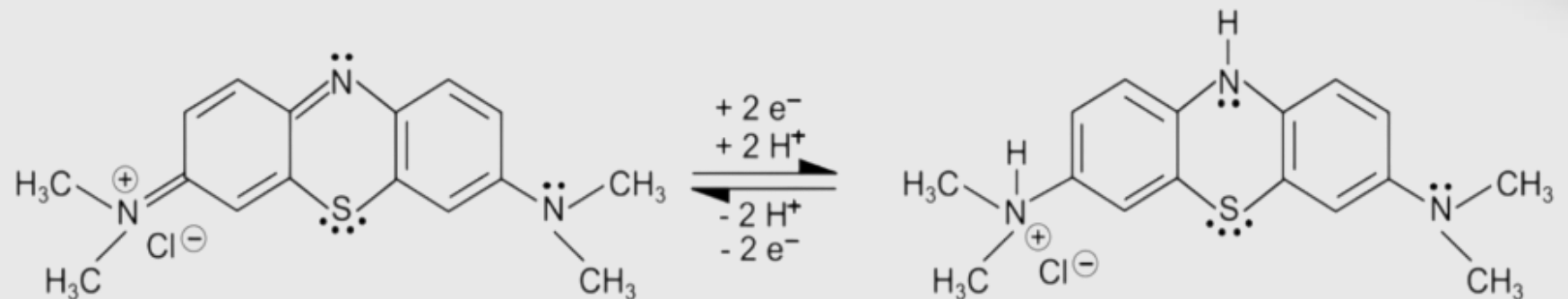
Figura 7. Curva de calibración de la SBF a diferentes pH sobre ECV en presencia de azul de metileno a una concentración de 50 ppm.

$$\frac{\Delta E_p}{\Delta \text{pH}} = \frac{2.303mRT}{nF}$$

1.69 protones

Electrolito soporte

SMEQ 2024



azul de metileno
(forma oxidada)

azul de metileno leuco
(forma reducida)

Figura 8. Mecanismo de oxidación de AM

Efecto de la velocidad de barrido

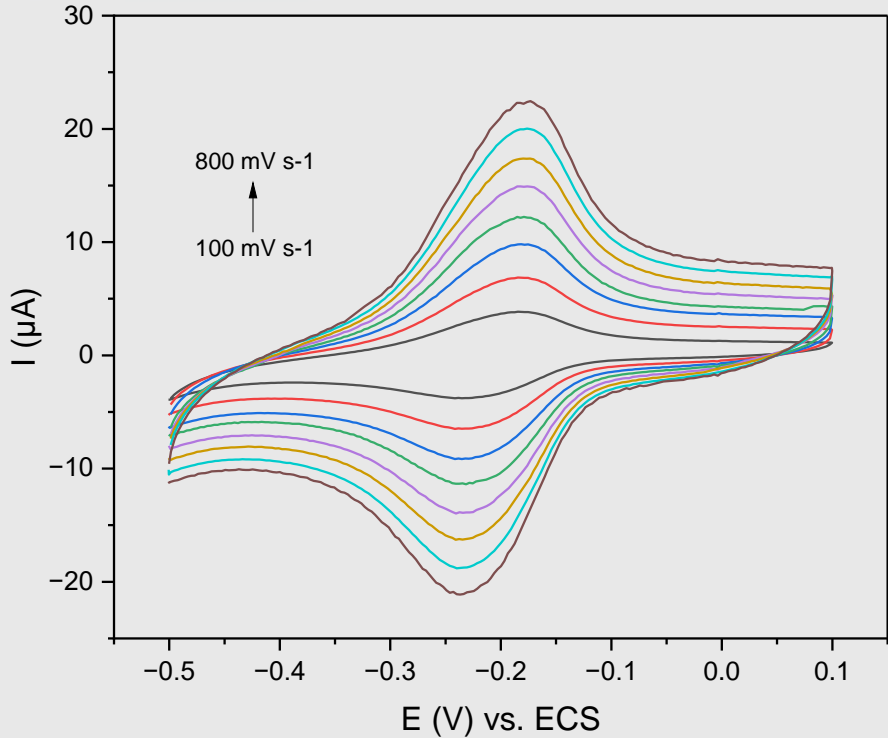


Figura 9. Efecto de la velocidad de barrido en la oxidación de AM con concentración de 50 ppm en ECV de 100 mVs^{-1} a 800 mVs^{-1} en SBF 0.1 M a pH 6 con VC

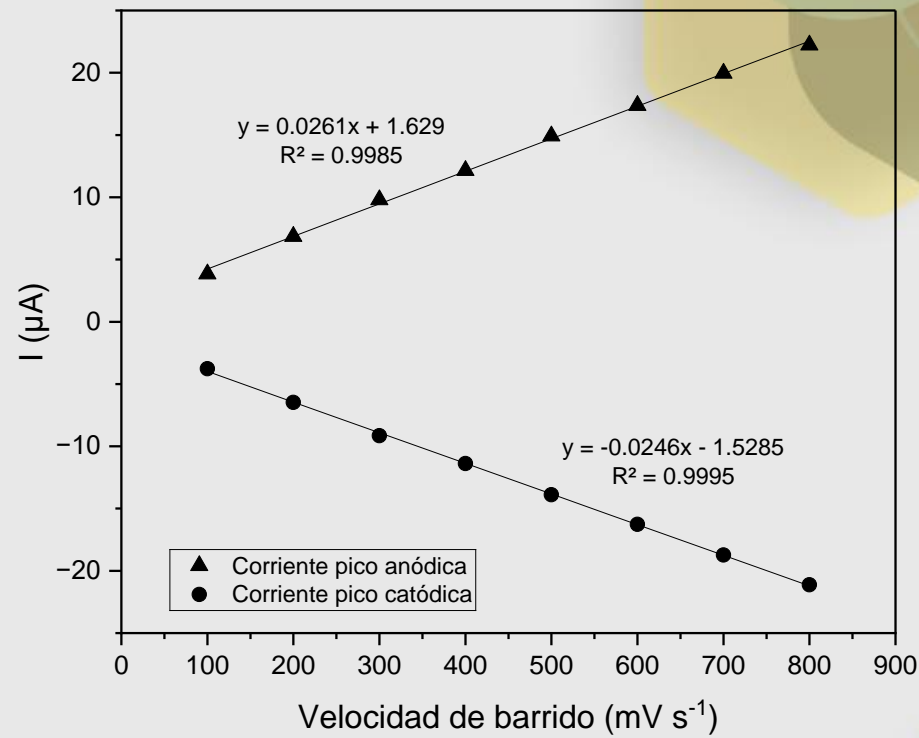


Figura 10. Relación lineal de la velocidad de barrido (mVs^{-1}) respecto a la corriente máxima (μA) de AM en ECV.

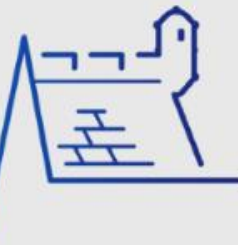
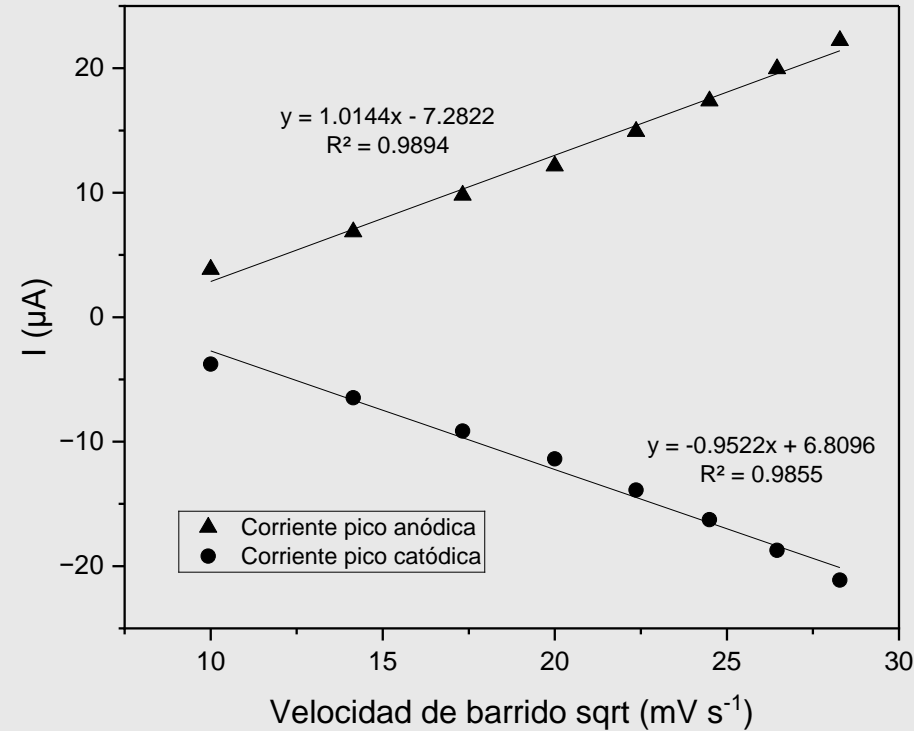


Figura 11. Relación lineal de la corriente máxima (μA) respecto a la raíz cuadrada de la velocidad de barrido ($\text{mVs}^{-1}^{1/2}$) de AM en ECV.





Caracterización electroquímica

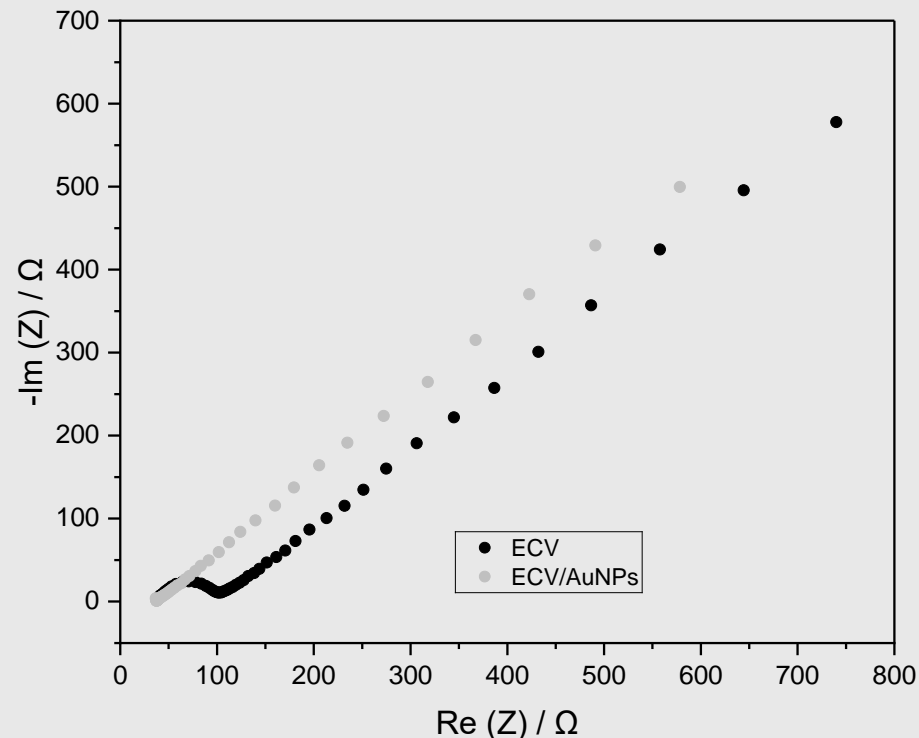


Figura 14. Espectros de impedancia electroquímica del sistema $[\text{Fe}(\text{CN})_6]^{3-}/\text{Fe}^{2+}$ 5 mM s⁻¹ en KCl 0.1 M con ECV y ECV/AuNPs como ET.

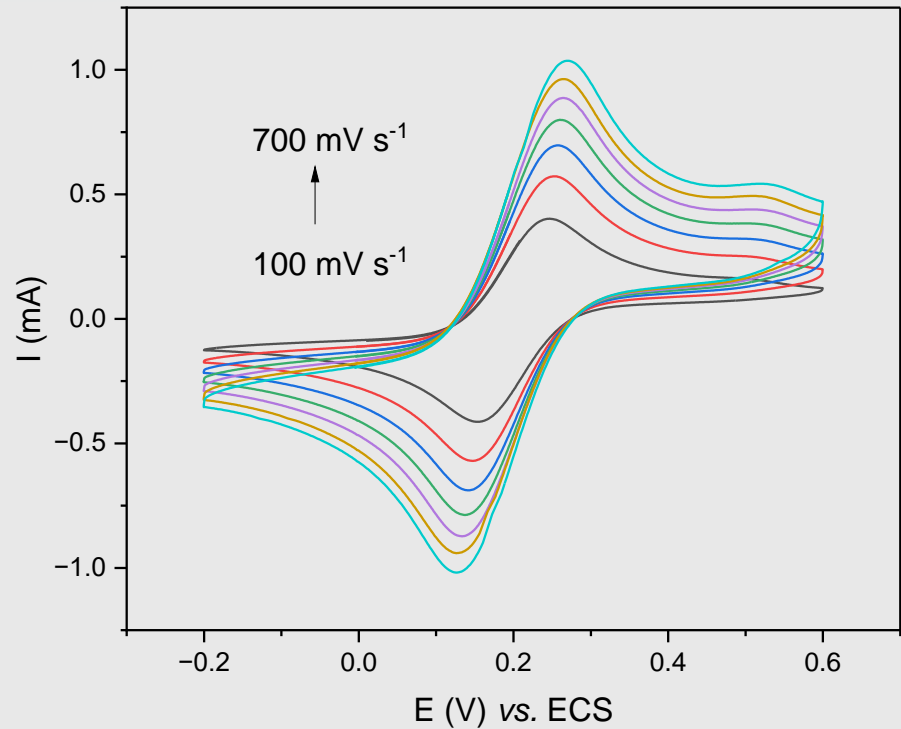


Figura 16. Voltamperogramas cíclicos con velocidades de barrido de 100 a 700 mV s^{-1} en el sistema $[\text{Fe}(\text{CN})_6]^{3-/4-}$ 5 mM en KCl empleando como ET a ECV/AuNPs.

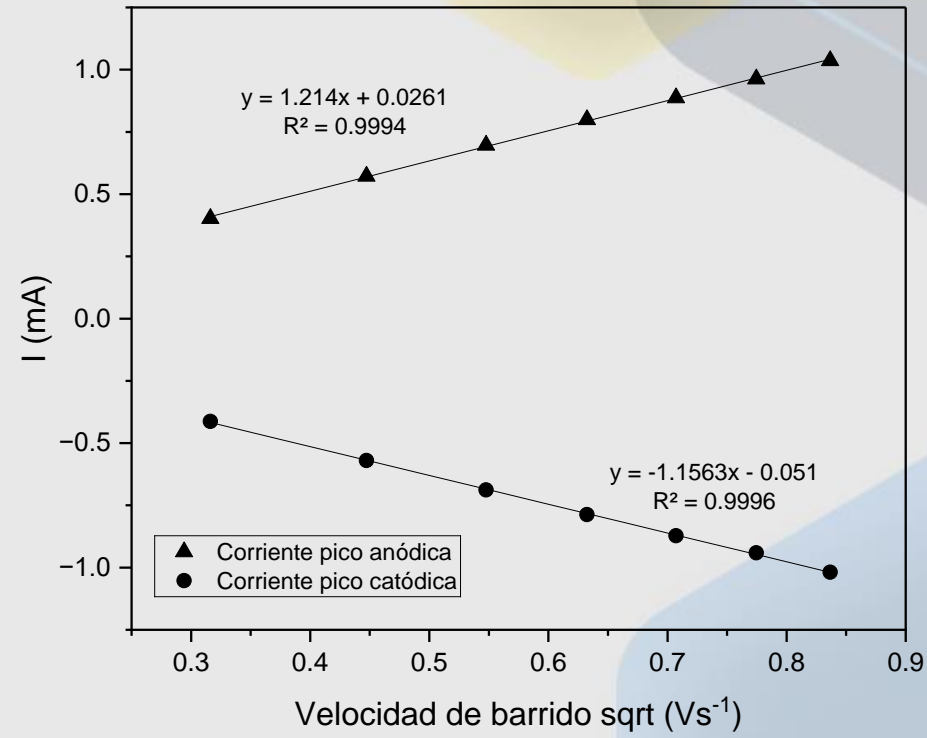


Figura 17. Curvas de calibración de la raíz de la velocidad de barrido y la corriente máxima del sistema $[\text{Fe}(\text{CN})_6]^{3-/4-}$.

$$i_p = (2.69 \times 10^5) n^{3/2} A D^{1/2} c v^{1/2}$$

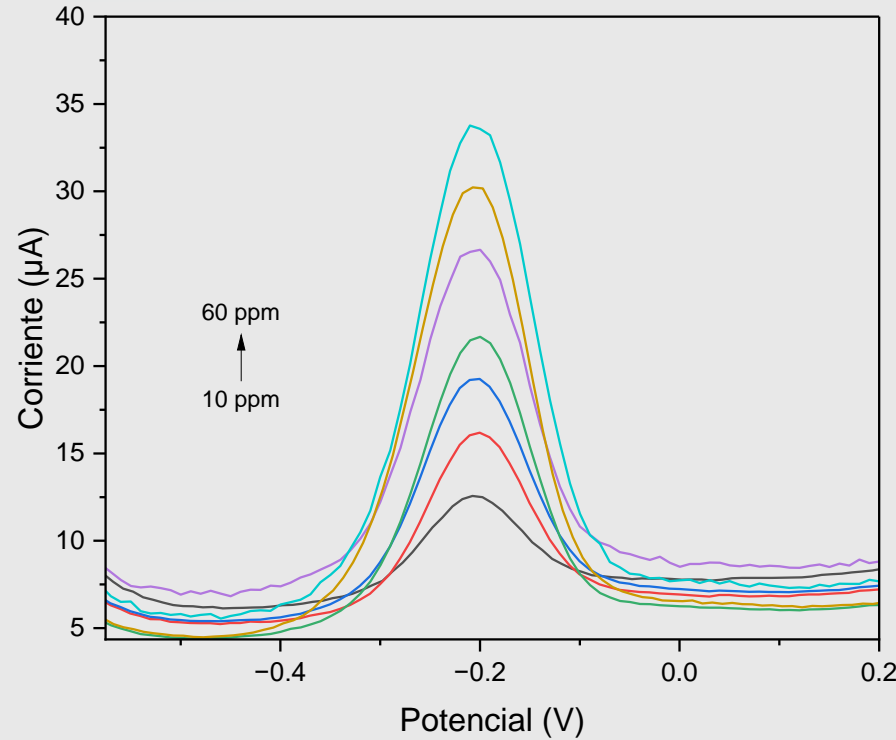


Figura 12. Efecto de la concentración de AM (10 ppm a 60 ppm) sobre la corriente pico (I_p) empleando al ECV como ET en PBS 0.1 M pH 6

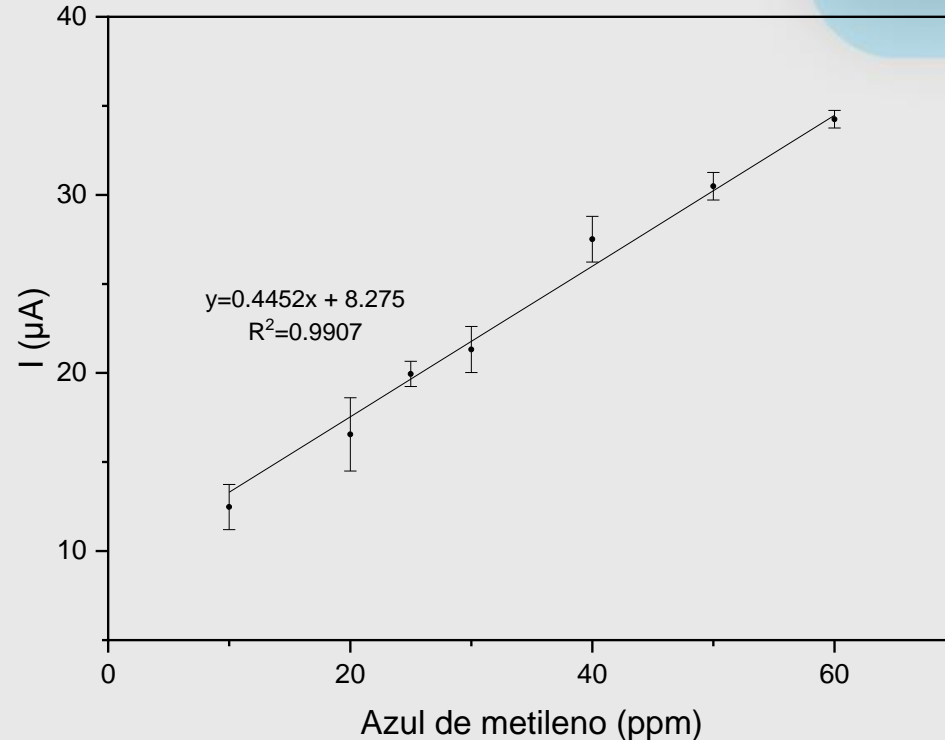


Figura 13. Curva de calibración de 10 a 60 ppm de AM por VOC empleando ECV como ET en SBF 0.1 M a PH 6.



Efecto de la concentración

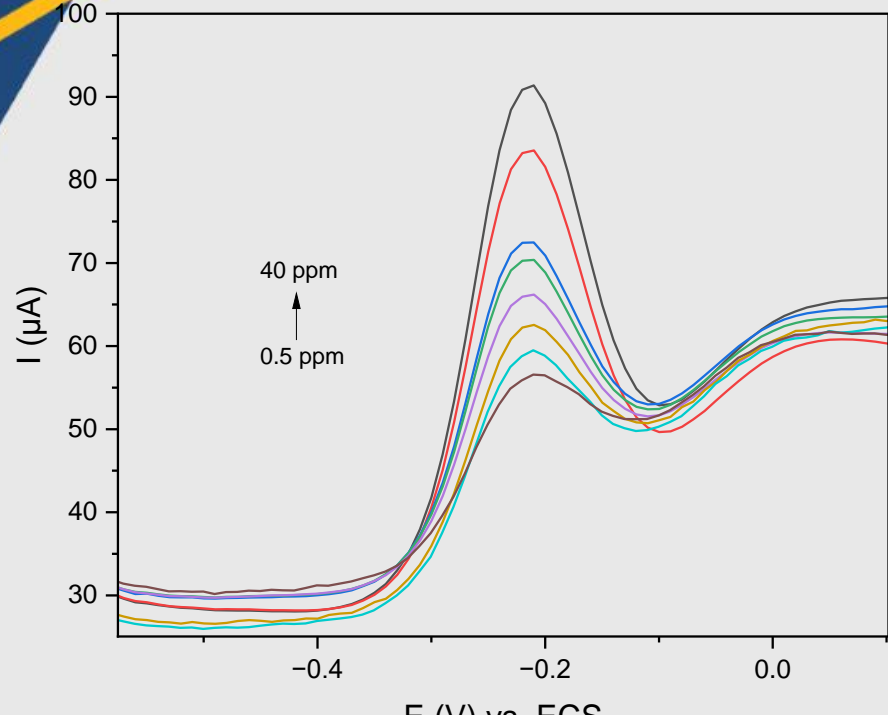


Figura 18. Voltamperograma de onda cuadrada a distintas concentraciones de AM (0.5 a 40 ppm) empleando ECV/AuNPs como ET en SBF 0.1 M a pH 6.

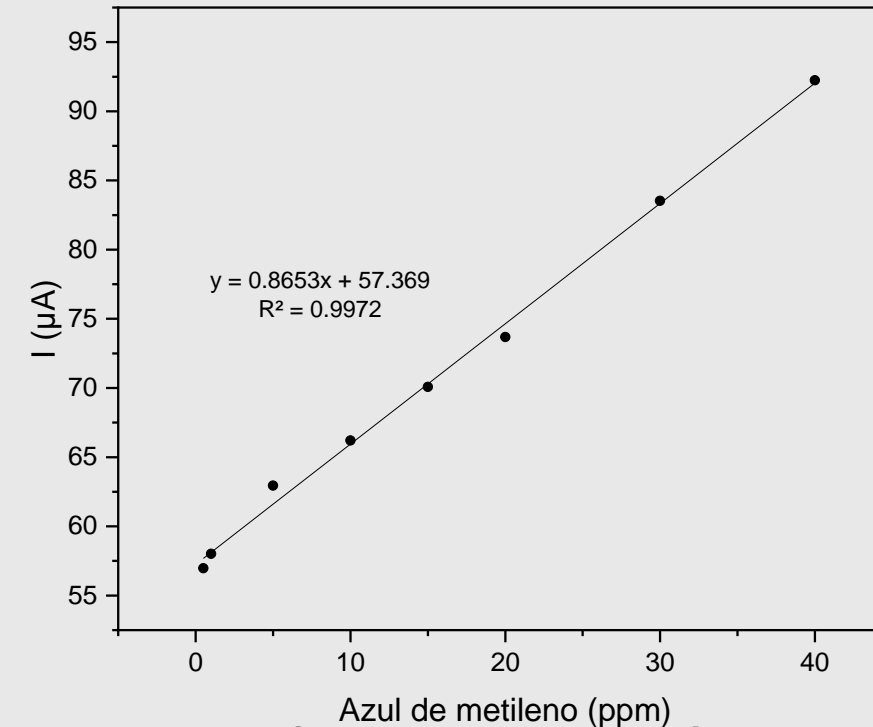


Figura 19. Curva de calibración de 0.5 a 40 ppm de AM por VOC empleando a ECV/AuNPs como ET

Conclusión

La capacidad del sensor para responder de manera eficiente a variaciones en la concentración de azul de metileno lo convierte en una herramienta prometedora para su implementación en la monitorización de la contaminación en aguas residuales.





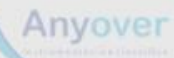
UACAM
Universidad Autónoma de Campeche



CICORR
CENTRO DE INVESTIGACIÓN
EN CORROSIÓN
Universidad Autónoma de Campeche



SMEQ 2024



SMEQ por haber
aceptado mi trabajo

Proyecto de investigación con impacto social
(PISSO) PISSO23-ICB-19-MGALICIA DE LA UACJ





Literatura citada

- [1] ACS. (2007). Química 1. Un proyecto de la American Chemical Society. Reverte.
- [2] Bard, A. J., Abruña, H. D., Chidsey, C. E., Faulkner, L. R., Feldberg, S. W., Itaya, K., Majda, M., Melroy, O., Murray, R. W., Porter, M. D., Soriaga, M. P., & White, H. S. (1993). The electrode/electrolyte interface - A status report. *Journal of Physical Chemistry*, 97(28), 7147–7173.
- [3] Bayomi, O. S., Kandeel, H., Shoeib, T., Yang, H., Youssef, N., & M, M. (2020). Novel approach for effective removal of methylene blue dye from water using fava bean peel waste. *Scientific Reports*, 10, 7824.
- [4] Bosch, R. W. (2005). Electrochemical impedance spectroscopy for the detection of stress corrosion cracks in aqueous corrosion systems at ambient and high temperature. *Corrosion Science*, 47(1), 125–143.
- [5] Elgrishi, N., Rountree, K. J., McCarthy, B. D., Rountree, E. S., Eisenhart, T. T., & Dempsey, J. L. (2018). A Practical Beginner's Guide to Cyclic Voltammetry. *Journal of Chemical Education*, 95(2).



- [6] Flores, E. (1995). Voltametría cíclica: la espectroscopía electroquímica. Parte I. *Revista de Química*, 9(2), 165–172.
- [7] Goren, A. Y., Edebali, O., Sahin, C., Genisoglu, M., & Okten, H. E. (2022). Electrochemical Degradation of Methylene Blue by a Flexible Graphite Electrode : Techno-Economic Evaluation. *ACS Omega*, 7, 32640–32652.
- [8] Hayat, M., Shah, A., Nisar, J., Shah, I., Haleem, A., & Ashiq, M. N. (2022). A Novel Electrochemical Sensing Platform for the Sensitive Detection and Degradation Monitoring of Methylene Blue. *Catalysts*, 12(3).
- [9] Khan, I., Saeed, K., Zekker, I., Zhang, B., Hendi, A. H., Ahmad, A., Ahmad, S., Zada, N., Ahmad, H., Shah, L. A., Shah, T., & Khan, I. (2022). Review on Methylene Blue: Its Properties, Uses, Toxicity and Photodegradation. *Water*, 14, 242.



- [10] Lazanas, A. C., & Prodromidis, M. I. (2023). Electrochemical Impedance Spectroscopy: A Tutorial. *Measurement Science*, 3, 162–193.
- [11] Mirceski, V., Gulaboski, R., Lovric, M., Bogeski, I., & Kappl, R. (2013). Square-Wave Voltammetry: A Review on the Recent Progress. *Electroanalysis*, 25(11), 2411–2422. [12] Scholz, F. (2010). *Electroanalytical Methods*. Springer.

